

## ИНДУКЦИОННОЕ ТОРМОЖЕНИЕ ДИСЛОКАЦИЙ В МЕТАЛЛАХ В МАГНИТНОМ ПОЛЕ

А. М. Гришин

Вычислена индукционная часть электронной силы торможения дислокаций. В широком интервале магнитных полей она квадратично растет с полем и не зависит от температуры. Эти результаты качественно описывают эксперимент [1].

1. Недавно появились две работы [1, 2], в которых впервые в механических опытах по пластической деформации металлов, обнаружено влияние магнитного поля на электронное торможение дислокаций. В [1], в частности, для меди и алюминия установлена квадратичная зависимость силы торможения  $F$  от магнитного поля  $H$  – от самых слабых – до полей в 10 кэ. Этот результат не согласуется с существующими теоретическими представлениями [3 – 5]. Основной вывод этих теорий заключается в том, что в металлах с изотропным и квадратичным законом дисперсии электронов в некантованных магнитных полях электронная сила торможения не должна зависеть от поля, а по величине – совпадать со значением силы

$$F(0) = bV, \quad b \sim \frac{nb^2 m \epsilon_F \zeta^2}{\hbar} \quad (1)$$

при  $H = 0$ . Здесь  $V$  – скорость дислокации,  $b$  – ве гор Бюргерса,  $n$  – концентрация,  $\epsilon_F$  – энергия Ферми,  $m$  – эффективная масса электронов проводимости,  $\zeta$  – безразмерная константа деформационного потенциала.

Считалось, что зависимость  $F(H)$  может проявляться лишь в сильных полях, когда циклотронная частота  $\Omega = eH/mc$  значительно превосходит частоту релаксации электронов  $\nu$ , и в особой геометрии – при ориентации  $H$  почти параллельно оси дислокации (допустимый угол отклонения  $\phi$  ничтожно мал:  $\phi \lesssim b/R$ ,  $R = v_F/\Omega$  – ларморов радиус). Таким образом, малость  $\phi$  и непрямолинейность дислокационных линий в кристалле казалось бы исключают возможность обнаружения в реальном эксперименте зависимости  $F(H)$ <sup>1)</sup>. Отметим, что во всех цитированных выше теориях расчеты  $F(H)$  производились в модели деформационного взаимодействия электронов с дислокациями.

В настоящей работе исследовано индукционное торможение дислокаций электронами проводимости. Индукционная сила  $F_i$  хоть и мала по сравнению с деформационной (1), но зависит от  $H$  во всем интервале полей и для всех ориентаций  $H$  к линии дислокации. Благодаря этому, ин-

<sup>1)</sup> Для произвольно ориентированных к  $H$  дислокаций сильные зависимости  $F(H)$  должны существовать в кантованных полях [6, 5] и особенно – в ультраквантовом случае [7].

дукционное торможение дает квадратичную с полем добавку к "фоновой" (независящей от  $H$ ) деформационной силе электронного трения. Эти результаты качественно согласуются с законом  $H^2$  и независимостью от температуры для силы торможения, которые получены в [1].

2. Индукционное торможение дислокаций обусловлено тем, что электроны, выведенные движущимися деформациями из состояния равновесия, действуют на решетку с силой

$$\mathcal{F} = c^{-1} [\mathbf{j} \mathbf{H}], \quad (2)$$

$c$  – скорость света,  $\mathbf{j}$  – электрический ток, вызванный индукционным "полем"  $\mathbf{E}' = c^{-1} [\dot{\mathbf{u}} \mathbf{H}]$ ,  $\mathbf{u}$  – смещение решетки вокруг дислокации, точка над величиной – производная по времени.

Индукционная сила торможения  $F_i$ , приходящаяся на единицу длины дислокации  $L$ , может быть выражена двумя эквивалентными формулами:

$$\int F_i V dL = \int d^3 r \overline{\mathcal{F} \dot{\mathbf{u}}} = \int d^3 r \overline{\mathbf{j} \mathbf{E}'}. \quad (3)$$

Первая определяет  $\int F_i V dL$  как среднюю по времени мощность, развиваемую силой (2), вторая – как средние джоулевы потери индукционного тока.

Для прямолинейной винтовой дислокации с осью по  $Oy$  в поле  $\mathbf{H}$ , отклоненном от  $Oy$  к  $Oz$  на угол  $\phi$ ,  $F_i$  оказывается равной:

$$F_i = V \left( \frac{bH \sin \phi}{2\pi c} \right)^2 \int \frac{d^2 \mathbf{q}}{q^2} \left[ \frac{V}{V} \frac{\mathbf{q}}{q} \right]^2 \sigma_{xx}(\mathbf{q}, \mathbf{q}V); \quad (4)$$

$\mathbf{q}$  – волновой вектор "дислокационного фона",  $\sigma_{xx}(\mathbf{q}, \mathbf{q}V)$  – поперечная к  $\mathbf{H}$  компонента тензора проводимости в магнитном поле для колебаний с волновым вектором  $\mathbf{q}$  на частоте  $\mathbf{q}V$ . Интегрирование по  $q$  ограничивается сверху коновским порогом  $q \leq 2\rho_F / \hbar$  (при больших  $q \hat{\sigma} \approx 0$ ), а в качестве нижнего предела следует выбрать величину  $\xi^{-1}$ , где  $\xi$  – среднее расстояние между дислокациями<sup>1)</sup>.

3. Для вычисления интеграла в (4) можно воспользоваться известными асимптотиками проводимости  $\sigma_{xx}$ :

	$qR \gg 1$	$qR \ll 1$
$q \gg 1$	$\sigma_{xx} / \sigma_0 \sim 1/q$	$(\nu / \Omega) qR$
$q \ll 1$	1	$[1 + (\Omega / \nu)^2]^{-1}$

(5)

1) Основным в  $F_i(H)$  почти всегда является вклад длинноволновых фононов. Это отличает индукционную силу от деформационной, для которой определяющую роль играют деформации вблизи ядра дислокации.

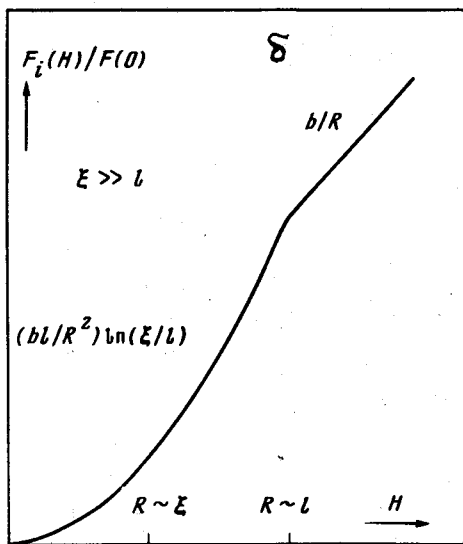
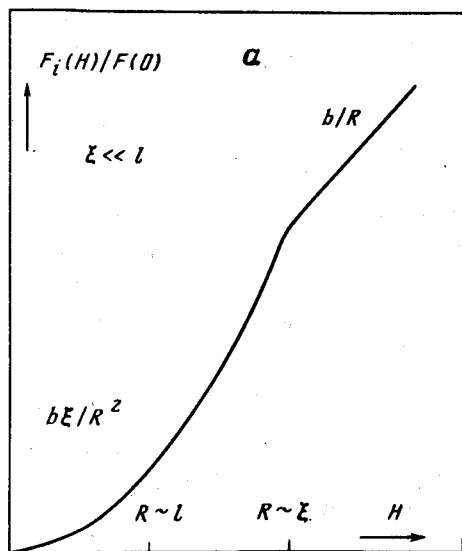
Верхняя строка таблицы соответствует бесстолкновительному режиму поглощения,  $l = v_F / \nu$  — длина свободного пробега электронов,  $\sigma_0 = ne^2 / m\nu$  — проводимость металла при  $H = 0$ . Интегрируя в (4)  $\sigma_{xx}$  из (5) по  $q$  находим:

$$\text{в слабом поле } \Omega \ll \nu \quad F_i(H) / F(0) \sim \begin{cases} (bl / R^2) \ln(\xi / l) & \text{при } \xi \gg l, \\ b\xi / R^2 & \text{при } \xi \ll l, \end{cases} \quad (6)$$

$$\text{в сильном поле } \Omega \gg \nu \quad F_i(H) / F(0) \sim \begin{cases} b/R & \text{при } \xi \gg R, \\ b\xi / R^2 & \text{при } \xi \ll R. \end{cases}$$

Отношение  $F_i(H) / F(0)$  в (6) всегда мало по сравнению с единицей.

4. Полученные результаты удобнее всего представить зависимостью  $F_i$  от  $H$ . Она изображена на рисунках *a* и *б*. Видно, что квадратичный ход  $F_i$  от  $H$  существует в широком интервале полей — от слабых — до  $H$ , где электронный радиус  $R$  сравнивается с  $\min(\xi, l)$ . Так, для концентрации дислокаций  $\xi^{-2} \sim 10^8 \text{ см}^{-2}$  сила  $F_i \propto H^2$  вплоть до  $H \sim 100 \text{ кЭ}$ . Коэффициент при  $H^2$  различен в случае редких ( $\xi \gg l$ ) и близко расположенных дислокаций ( $\xi \ll l$ ). Это должно приводить к изменению функциональной зависимости  $F_i$  от температуры (через  $l$ ) и величины деформаций (через  $\xi$ ) на разных стадиях процесса деформирования (участках кривой упрочнения).



Полевая зависимость индукционной силы торможения *a* — когда расстояние между дислокациями  $\xi$  меньше длины свободного пробега электронов  $l$ ; *б* — при  $\xi \gg l$

В экспериментах по пластической деформации наиболее реалистичным, по-видимому, является случай  $\xi \ll l$  (рис. *a*). В этой ситуации индукционная сила не зависит от длины свободного пробега электронов,

а значит – и от температуры. Этот вывод и закон  $F_i(H) \sim H^2$  могут служить объяснением результатов эксперимента [1].

Донецкий физико-технический институт  
Академии наук Украинской ССР

Поступила в редакцию  
14 марта 1980 г.

### Литература

- [1] J.M.Galligan, C.S.Pang. J. Appl. Phys., **50**, 6253, 1979.
  - [2] В.И.Гостищев, Р. А. Глиник, М.Л.Петровский, В.Н.Хазов. Письма в ЖЭТФ, **30**, 102, 1979.
  - [3] В.Я.Кравченко. Письма в ЖЭТФ, , **12**, 551, 1970.
  - [4] В.Д.Нацик, Л.Г.Потемина. ЖЭТФ, **67**, 240, 1974.
  - [5] А.М.Гришин, Э.А.Канер, Э.П.Фельдман. ЖЭТФ, **70**, 1445, 1976.
  - [6] G.Bellessa. Phys. Rev. Lett., **28**, 668, 1972; Phys. Rev., B, **7**, 2400, 1973.
  - [7] А.М.Гришин, Л.Н.Гумен, Э.П.Фельдман. ЖЭТФ, **75**, 935, 1978.
-